

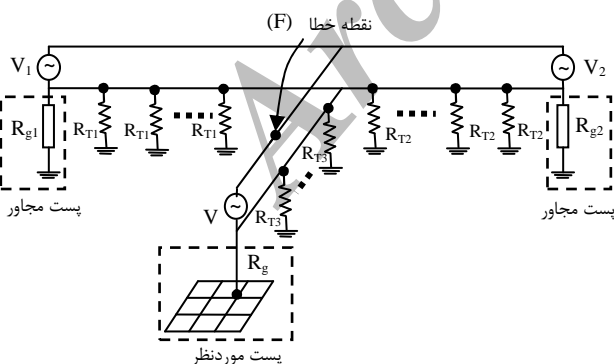
روشی جدید برای تعیین ضریب تقسیم جریان اتصال زمین در طراحی پستهای فشار قوی

سید محمد شهر تاش و نبی الله رمضانی

چکیده: یکی از پارامترهای مهم در طراحی سیستم زمین پستهای فشار قوی، جریان اتصال کوتاه وارد شده به سیستم زمین پست موردنظر است. برای محاسبه این جریان (و یا نسبت دامنه آن به دامنه جریان اتصال زمین که ضریب تقسیم جریان نامیده می‌شود) باید کلیه مسیرهای موازی با سیستم زمین پست که جریان اتصال زمین می‌تواند از آنها عبور کند مدلسازی شده و لحاظ گردد. در این مقاله روشی جدید، کاربردی، ساده و دقیق برای محاسبه ضریب تقسیم جریان اتصال زمین، با درنظر گرفتن تأثیر مقاومت شبکه زمین پستهای مجاور، مقاومت پای دکلهای خطوط انتقال همسان و غیرهمسان، سیمهای زمین متعدد و همچنین با اسپنهای متفاوت متصل به پست ارائه گردیده است و صحت روش در حالات مختلف با سایر روشها مقایسه و اثبات شده است.

واژه‌های کلیدی: ضریب تقسیم جریان اتصال زمین، ولتاژ گام و تماس، شبکه زمین، پستهای فشار قوی

خطوط و شبکه زمین پستهای مجاور را در روش‌های مختلف شناسایی و مقایسه نمود. در برخی از روشها [۱-۵] با ارائه مدل‌های نسبتاً ساده و تقریبی برای خطوط بلند، استفاده از آنها برای خطوط انتقال کوتاه بویژه به صورت دومداره و با اسپنهای مقاومت پای دکلهای متفاوت و همچنین با لحاظ کردن سیستم زمین پست مجاور در محاسبه ضریب تقسیم جریان اتصال زمین غیرممکن است.



شکل ۱. خطوط انتقال متصل به پست موردنظر

در این مقاله روشی کاربردی، ساده و دقیق برای مدلسازی مسیرهای عبور جریان اتصال زمین و محاسبه ضریب تقسیم آن جریان جهت طراحی مناسب شبکه زمین ارائه گردیده است که

۱. مقدمه

جریانهای اتصال زمین در هر نقطه‌ای از خطوط انتقال (مطابق شکل (۱)) از طریق مقاومت زمین پای دکلهای و سیمهای زمین (محافظ) و همچنین از طریق شبکه‌های زمین پستهای و هادیهای فاز در مجاورت نقطه اتصالی شده امکان برگشت و ایجاد مسیر پسته می‌یابند. در این صورت برای یافتن سیم جریان اتصال زمین عبوری از تمامی مسیرهای مذکور محاسبه گردد و بدین منظور مدلسازی کلیه خطوط انتقال در مجاورت محل خطا و زمین پستهای نزدیک ضروری است.

تاکنون فعالیتهای تحقیقاتی متعددی برای محاسبه ضریب تقسیم جریان اتصال زمین عبوری از سیستم زمین پسته ارائه گردیده است [۱-۸]. برای ارزیابی قوت روش‌های ارائه شده باید امکان پذیری و سهولت در نظر گرفتن اندوکتانس متقابل هادیهای فاز و سیمهای محافظ، اسپنهای نامساوی خطوط، مشخصات متفاوت خاک در محل دکلهای، تعداد سیمهای محافظ، ساختار دومداره غیرهمسان

این مقاله در تاریخ ۸۶/۶/۱ به تصویب نهایی رسیده است.

دکتر سید محمد شهر تاش، گروه قدرت و قطب علمی انواماسیون و بهره‌برداری سیستم‌های قدرت، دانشکده برق، دانشگاه علم و صنعت ایران.
 shahrtash@iust.ac.ir
 نبی الله رمضانی، دالشجوی دکتری برق - قدرت، دانشکده برق، دانشگاه علم و صنعت ایران.
 n_ramezani@iust.ac.ir

برای مجموعه سیم زمین و دکل‌های خط انتقال در شکل ۲ را محاسبه نمود:

$$Z_{S_k} = Z_g \times \ell_{S_k} \quad (3)$$

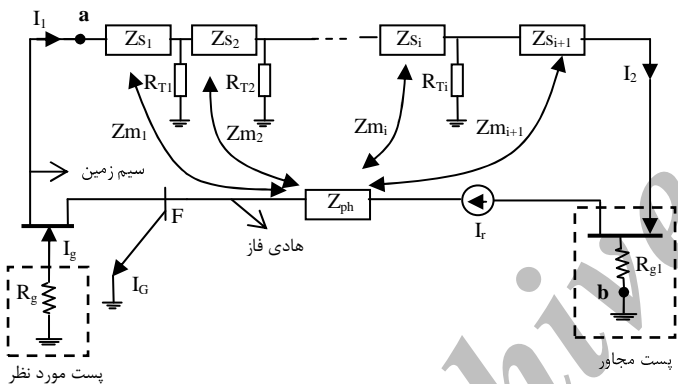
در رابطه (۳)، ℓ_{S_k} طول اسپن k ام خط انتقال (m) است. علاوه بر این، در شکل ۲، هر امپدانس Z_{S_k} با امپدانس هادی فاز (Z_{ph}) دارای امپدانس متقابل در واحد طول برابر با رابطه زیر است:

$$Z_{gmi} = 9.87 \times 10^{-7} f + j 28.94 \times 10^{-7} f \log_{10} \left(\frac{D_e}{GMD_{sep}} \right) \quad (4)$$

که GMD_{sep} در رابطه فوق فاصله متوسط هندسی بین سیم زمین و هادیهای فاز است.

ج- شبکه زمین پست موردنظر: به صورت مقاومت R_g .

د- شبکه زمین پست (یا پستهای) مجاور: به صورت مقاومت $.R_{gk}$



شکل ۲. مدل دقیق شبکه متصل به نقطه اتصال کوتاه

در موارد فوق جریان اتصال کوتاه (I_G) عبوری از محل خطا از محاسبات اتصال کوتاه در شبکه قدرت بدست می‌آید.

۳. روش جدید پیشنهادی

به منظور تسهیل محاسبات و حفظ دقت، در روش پیشنهادی تاثیر متقابل هادیهای فاز و سیمهای محافظه در مرحله دوم در نظر گرفته می‌شود.

بر این اساس و در مرحله اول مدار معادل برای سیم زمین، مقاومت زمین پای دکلها و شبکه زمین پستهای مجاور تعیین می‌گردد. سپس با در نظر گرفتن تاثیر امپدانس متقابل هادیهای فاز و سیمهای محافظه، توزیع جریان اتصال زمین میان شبکه زمین پست موردنظر و سیم زمین و شبکه زمین پستهای مجاور مشخص می‌شود. مراحل پیاده سازی روش بقرار زیر است:

قابلیت لحاظ کردن کلیه شاخهای فوق را در خطوط بلند و کوتاه دارد.

شایان ذکر است که با توجه به نتایج ارائه شده در این مقاله، در برخی موارد از قبیل خطوط انتقال کوتاه با اسپن‌های مساوی و نامساوی و همچنین خطوط انتقال بلند با اسپن‌های نامساوی از تاثیر طول متفاوت اسپنها، مقاومتهای نامساوی پای دکلها و مقاومت شبکه زمین پست مجاور نمی‌توان صرفنظر کرد در حالیکه در برخی از روشهای ارائه شده این پارامترها در محاسبه ضریب تقسیم جریان اتصال زمین در نظر گرفته نمی‌شوند.

۲. مدلسازی شبکه برای محاسبه توزیع جریان خطای زمین

همانگونه که اشاره شد و مطابق شکل ۲ که شبکه‌ای با دو پست و یک خط انتقال هوایی میان آن دو را نشان می‌دهد، برای محاسبه ضریب تقسیم جریان اتصال زمین، بخش‌های زیر در قالب یک مدار مدلسازی و به یکدیگر متصل می‌گردند.

الف. هادی فاز اتصال زمین شده: به صورت امپدانس Z_{ph} که برابر امپدانس خودی هادی فاز بوده و منبع جریان (I_f) که مقدار آن از نتایج محاسبه اتصال کوتاه در شبکه قدرت بدست می‌آید.

ب- سیم محافظه و دکلها به همراه مقاومت پای آنها: به صورت یک مدار امپدانسی- مقاومتی نرdbانی به تعداد اسپنها که در آن R_{Tk} مقاومت زمین پای هر دکل و Z_{S_k} در هر اسپن برابر امپدانس خودی سیم محافظه در اسپن k ام بوده و مطابق روابط زیر محاسبه می‌شود:

$$Z_g = r_g + 9.87 \times 10^{-7} f + j 28.94 \times 10^{-7} f \log_{10} \frac{D_e}{GMR} \quad (1)$$

در حالیکه:

Z_g : امپدانس خودی سیم زمین در واحد طول (Ω/m)

r_c : مقاومت سیم زمین در واحد طول (Ω/m)

f : فرکانس شبکه (Hz)

D_e : عمق معادل برگشت زمین (m) که از رابطه زیر محاسبه می‌شود:

$$D_e = 658.4 \sqrt{\frac{\rho}{f}} \quad (2)$$

ρ : مقاومت ویژه زمین ($\Omega \cdot m$)

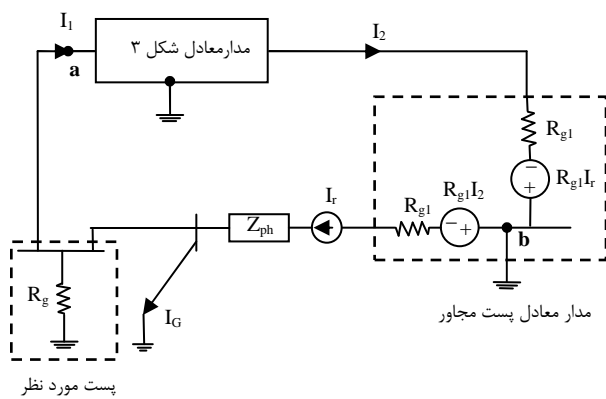
GMR : شعاع متوسط هندسی سیم زمین (m)

پس از محاسبه امپدانس خودی سیم زمین (Z_g) از رابطه (۳) می‌توان امپدانس شاخه‌های سری (Z_{S_k}) شبکه نرdbانی ارائه شده

$$\begin{bmatrix} V_1 \\ I_1 \end{bmatrix} = \begin{bmatrix} T_{11} & T_{12} \\ T_{21} & T_{22} \end{bmatrix} \cdot \begin{bmatrix} V_2 \\ I_2 \end{bmatrix} \quad (8)$$

۳-۲. ترکیب شبکه زمین پستهای مجاور و مدار معادل سیم زمین و دکلهای زمین

در این مرحله، شبکه زمین پست مجاور در شکل ۲ به صورت شکل ۵ درمی‌آید، که در آن I_r جریان عبوری از فاز به ازای اتصال زمین (که از نتایج محاسبات اتصال کوتاه در شبکه قدرت بدست آمده و معلوم فرض می‌شود) و I_2 جریان ورودی به پست مجاور از طریق سیم زمین است (که در ادامه محاسبات به مقدار آن نیازی نیست).

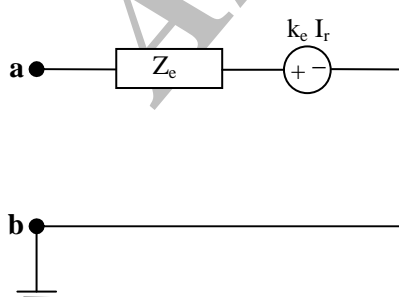


شکل ۵. تاثیر مقاومت شبکه زمین پست مجاور در مدار معادل

میان دو نقطه a و b به صورت شکل ۶ درمی‌آید، که در آن پارامترهای مربوطه به قرار زیر محاسبه می‌شوند:

$$Z_e = \frac{T_{11}(Z_{s_{n+1}} + R_{g1}) + T_{12}}{T_{21}(Z_{s_{n+1}} + R_{g1}) + T_{22}} \quad (9)$$

$$k_e = \frac{T_{12}R_{g1}}{Z_{s_{n+1}} + R_{g1}} - \frac{T_{22}R_{g1}[T_{11}(Z_{s_{n+1}} + R_{g1}) + T_{12}]}{[T_{21}(Z_{s_{n+1}} + R_{g1}) + T_{22}](Z_{s_{n+1}} + R_{g1})} \quad (10)$$

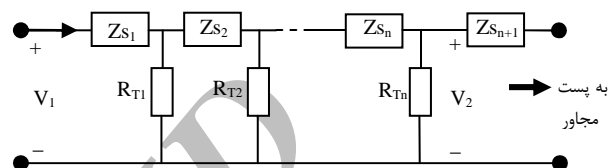


شکل ۶. معادل تونن سیم زمین و دکلهای خط انتقال

۳-۳. مدار معادل نهایی

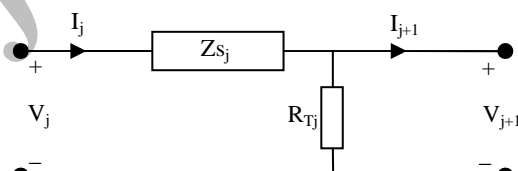
با جانشینی مدار معادل شکل ۶ در شکل ۵ (که برمبنای شکل ۲، بررسی تقسیم جریان اتصال زمین در مجاورت یک پست را نمایش

۱-۳. محاسبه مدار معادل سیم زمین و مقاومت زمین دکلهای با حذف امپدانسهای متقابل میان هادیهای فاز و سیم زمین در شکل ۲، مدار معادل سیم زمین، مقاومت زمین پای دکلهای و شبکه زمین پست مجاور به صورت شکل ۳ درمی‌آید. در شکل مذکور هیچگونه محدودیتی برای مختلف بودن طول اسپینها (که با امپدانسهای Z_{Sj} نمایش داده شده‌اند) و مقادیر مقاومت پای دکلهای (که با R_{Tj} به نمایش درآمده‌اند) وجود ندارد و بدین ترتیب محاسبات مربوط در کلی ترین حالت انجام می‌گیرد.



شکل ۳. مدار معادل سیم زمین و دکلهای خط انتقال

برای محاسبه تابع انتقال مدار فوق، در ابتدا تابع انتقال مربوط به مدار معادل یک اسپن از سیم زمین و دکل مربوطه به ترتیب زیر محاسبه می‌گردد:



شکل ۴. مدار معادل یک اسپن از سیم زمین و دکل مربوطه

در شکل ۴، روابط بین جریان و ولتاژ ورودی و خروجی را به کمک رابطه ماتریسی زیر می‌توان نوشت:

$$\begin{bmatrix} V_j \\ I_j \end{bmatrix} = \begin{bmatrix} t_{j1} & t_{j2} \\ t_{j3} & t_{j4} \end{bmatrix} \begin{bmatrix} V_{j+1} \\ I_{j+1} \end{bmatrix} = T_j \cdot \begin{bmatrix} V_{j+1} \\ I_{j+1} \end{bmatrix} \quad (5)$$

در رابطه (۵)، درایه های ماتریس T_j به ترتیب زیر محاسبه می‌گردند:

$$t_{j1} = 1 + \frac{Z_{sj}}{R_{Tj}}, \quad t_{j2} = Z_{sj}, \quad t_{j3} = \frac{1}{R_{Tj}}, \quad t_{j4} = 1 \quad (6)$$

با استفاده از تابع تبدیل T_j محاسبه شده در بالا، رابطه میان ولتاژ و جریان ابتدایی و انتهایی مدار را در شکل ۳ به ترتیب زیر در می‌آید:

$$T = \prod_{j=1}^n T_j = \begin{bmatrix} T_{11} & T_{12} \\ T_{21} & T_{22} \end{bmatrix} \quad (7)$$

و در نتیجه:

با توجه به مدار معادل فوق جریانهای I_{e1} تا I_{eN} مطابق رابطه زیر محاسبه می‌شوند:

$$\begin{bmatrix} R_g + Z_{el} & R_g & \dots & R_g \\ R_g & R_g + Z_{e2} \dots R_g & & \\ \vdots & \vdots & \dots & \vdots \\ R_g & \dots R_g & \dots R_g + Z_{eN} \end{bmatrix} \begin{bmatrix} I_{el} \\ I_{e2} \\ \vdots \\ I_{eN} \end{bmatrix} = \begin{bmatrix} (Z_{11} - k_{el})I_{el} - R_g(I_G - \sum_{i=1}^N I_{ei}) \\ (Z_{22} - k_{e2})I_{e2} - R_g(I_G - \sum_{i=1}^N I_{ei}) \\ \vdots \\ (Z_{NN} - k_{eN})I_{eN} - R_g(I_G - \sum_{i=1}^N I_{ei}) \end{bmatrix} \quad (12)$$

بر این اساس، در حالیکه:

$$I_g = I_G - \sum_{j=1}^n (I_{ej} - I_{ej}) \quad (13)$$

S_f در پست موردنظر بقرار زیر محاسبه می‌گردد:

$$S_f = \frac{I_g}{I_G} = 1 - \frac{\sum_{j=1}^n (I_{ej} - I_{ej})}{I_G} \quad (14)$$

۴. نتایج روش پیشنهادی

همانگونه که نشان داده شد، روش پیشنهادی در حالت کلی و بدون هیچگونه محدودیت در اندازه و تعداد اسپنهای خطوط انتقال متصل به پست، ساختار دو مداره غیرهمسان در خطوط، متعدد بودن سیمهای محافظه، غیرهمسان بودن مقاومت زمین پای دکلهای، لحاظ کردن شبکه زمین در پستهای مجاور و محل خطای توائد ضریب S_f را محاسبه نماید، درحالیکه هیچگدام از روشهای پیشین از چنین قابلیت‌هایی به صورت یکپارچه برخودار نیستند.

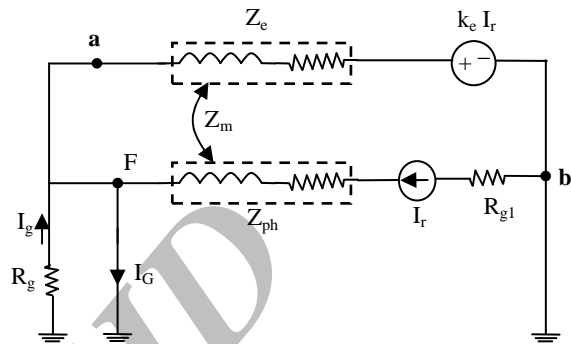
با این حال به منظور امکان پذیر شدن مقایسه، نتایج روش پیشنهادی با نتایج شبیه سازی روشهای [۲] (از روش‌های تقریبی) و [۷] (از روش‌های تحلیلی)، دو مطالعه موردی بر روی شبکه استاندارد [۹] (که اطلاعات آن در پیوست ۱ ارائه شده است)، و نیروگاه کرخه (با اطلاعات پیوست ۲) صورت گرفته که نتایج آن در ادامه ارائه شده‌اند.

۱-۴. تأثیر تعداد اسپنهای خطوط انتقال

شکل ۹ تأثیر تعداد اسپنهای یک خط انتقال با مشخصات ارائه شده در شبکه استاندارد [۹] را بر توزیع جریان اتصال کوتاه با روش ارائه شده در این مقاله و روش مرجع [۲] و همچنین روش تحلیلی ارائه شده در مرجع [۷] نشان می‌دهد.

داده است)، مدار معادل نهایی به صورت شکل ۷ درمی‌آید، که در این مرحله می‌توان اثر امپدانس متقابل میان سیم زمین و هادی فاز را لحاظ نمود. مقدار امپدانس متقابل از رابطه زیر محاسبه می‌شود:[۲]

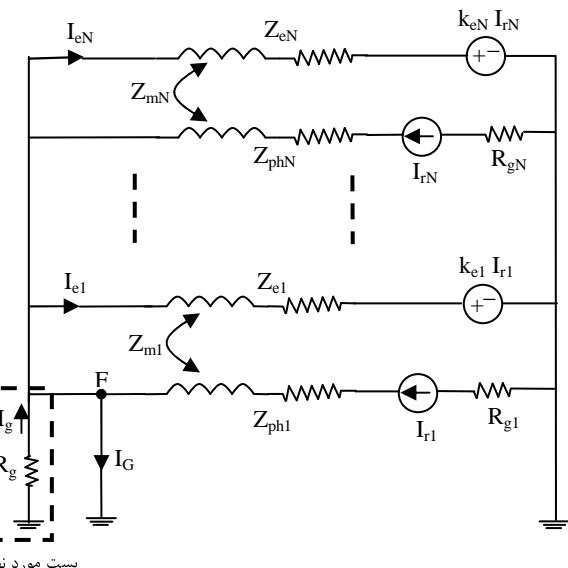
$$Z_{mi} = Z_{gm_j} \times (Z_{ej} / Z_{gj}) \quad (11)$$



شکل ۷. مدار معادل نهایی به ازای یک پست مجاور

۴-۳. محاسبه توزیع جریان اتصال کوتاه

مدار معادل شکل ۷ برای تعیین محاسبات به پستهای مجاور متعدد به صورت شکل ۸ در می‌آید که در آن نقطه F محل وقوع اتصال زمین و I_g جریان اتصال زمین عبوری از شبکه زمین پست موردنظر است و نسبت مقدار آن به مقدار I_G (جریان اتصال زمین که از نتایج محاسبات اتصال کوتاه شبکه قدرت به دست آمده و معلوم فرض می‌شود)، ضریب تقسیم جریان S_f را نشان می‌دهد.

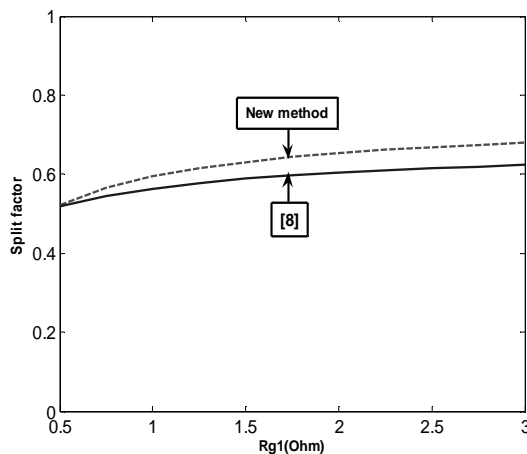


پست موردنظر

شکل ۸. مدار معادل برای محاسبه توزیع جریان

^۱ Split factor

زمین می گردد. البته روش مرجع [۷] در شرایط واقعی از پست و خطوط شبکه قدرت که روش پیشنهادی به سادگی ضریب تقسیم جریان را تعیین می نماید امکان پاسخ دهنده مناسب را ندارد.



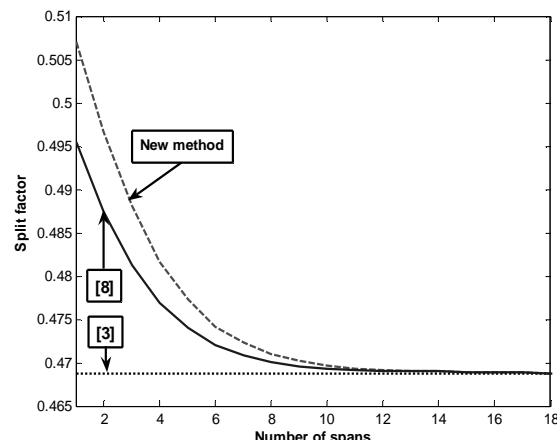
شکل ۱۰. مقایسه روش ارائه شده و مرجع [۷] برای شبکه ساده شده کرخه

۵. نتیجه گیری

برای محاسبه جریان اتصال کوتاه دقیق ورودی به پست جهت طراحی و احداث شبکه زمین اینم نیاز به مدلسازی دقیق شبکه های انتقال متصل به پست و سیستم های زمین پستهای مجاور است. در این مقاله روشی کاربردی و دقیق برای محاسبه ضریب تقسیم جریان اتصال زمین در پستهای فشار قوی با انواع خطوط انتقال متصل به پست ارائه شده است و با برخی روش های ارائه شده قبلی نیز مقایسه گردیده و نتایج خوبی حاصل گردیده است. این روش قادر است خطوط انتقال دومداره غیرهمسان با اسپنها و مقاومت های پایی دکل نامساوی و همچنین شبکه های انتقال بزرگ و دارای سیمه های زمین های متعدد را نیز تجزیه و تحلیل نموده و محاسبات را تسهیل کند.

مراجع

- [1] Popovic L.M., "Efficient Reduction of Fault Current Through the Grounding Grid of Substation Supplied by Cable Line", IEEE Trans. On Power Delivery, vol.15, No.2, April 2000, pp. 556-561.
- [2] Hans R.Seedher and etal, "A Practical Approach for Computation of Grid Current", IEEE Trans. on Power Delivery, vol.14, No.3, July 1999.
- [3] Popovic, L.M., "Practical Method for Evaluating Ground Fault Current Distribution in Station, Towers and Ground Wire", IEEE Trans. On Power Delivery, Vol.13, No.1, January 1998.
- [4] Popovic, L.M., "Practical Method for Evaluating Ground Fault Current Distribution in Station Supplied by An Unhomogeneous Line", IEEE Trans. On Power Delivery, vol.12, no.2, April 1997.



شکل ۹. مقایسه روش ارائه شده با مراجع [۲] و [۷]

همانطوریکه در شکل ۹ مشاهده می شود مدل ارائه شده در این مقاله در تمامی حالات با روش تحلیلی ارائه شده در مرجع [۷] و به ازای تعداد اسپنها بالاتر از ۱۳ اسپن با مرجع [۲] مطابقت دارد. در نتیجه در حالیکه در خطوط کوتاه بدلیل خطای زیاد نمی توان از مرجع [۲] استفاده کرد و همچنان در خطوط کوتاه و بلند بدلیل پیچیدگی روش مرجع [۷] استفاده از آن در موارد اشاره شده در بخش های قبلي مشکل و در برخی موارد غیرممکن است، روش پیشنهادی بخوبی و بسادگی در تمامی انواع خطوط متصل به پست می تواند پاسخ های دقیق ارائه نماید.

۴-۲. مطالعه موردی برای محاسبه ضریب تقسیم جریان اتصال زمین

در این بخش ضریب تقسیم جریان اتصال زمین برای پست نیروگاهی کرخه با اطلاعات ارائه شده در پیوست ۲ محاسبه شده است. برای مقایسه روش پیشنهادی با روش تحلیلی مرجع [۷]، به دلیل آنکه شبکه مذکور دارای سیمه های زمین متعددی بوده و همچنین شبکه از خطوط دومداره غیرهمسان تشکیل شده است استفاده از روش مرجع [۷] برای محاسبه ضریب تقسیم جریان اتصال کوتاه بسیار مشکل است. بدین منظور با استفاده از اطلاعات شبکه موردنظر با فرض همسانی خط انتقال دو مداره و درنظر گرفتن یک سیم زمین هایی، ضریب تقسیم جریان به ازای تغییرات مقاومت سیستم زمین پست همسایه با استفاده از روش ارائه شده در این مقاله و روش مرجع [۷] محاسبه گردیده که نتایج آن در شکل ۱۰ ارائه شده است. از آنجا که تاثیردهی امپدانس متقابل میان هادی فاز و سیم زمین در روش پیشنهادی بر مبنای مدلی کاربردی صورت گرفته است انتظار می رفت که نسبت به نتایج روش مرجع [۷] تفاوت هایی داشته باشد که حداکثر میزان خطأ کمتر از ۵ درصد بوده و خوشبختانه باعث افزایش محسوس اینمی در طراحی شبکه

[9] ANSI/ IEEE Std 80-2000, "IEEE Grounding for Safety in AC Substation Grounding", IEEE, 2000.

[5] Nahman. J.M., "Proximity Effects on the Ground Fault Current Distribution within the Earthing System Formed by a Substation and the Associated Transmission Lines", IEE Proceedings, Vol.135, No.6, November 1988.

پیوست ۱: اطلاعات خط انتقال مطابق استاندارد [۹]

جدول پ-۱. مشخصات خط انتقال مورد نظر

$f(\text{Hz})$	50
$Z_g (\Omega/\text{km})$	$(7+j1.3)$
$Z_{gm} (\Omega/\text{km})$	$0.0494+0.386$
Span(m)	300
$R_T(\Omega)$	10
$R_g (\Omega)$	0.5
$R_{gl} (\Omega)$	0.5

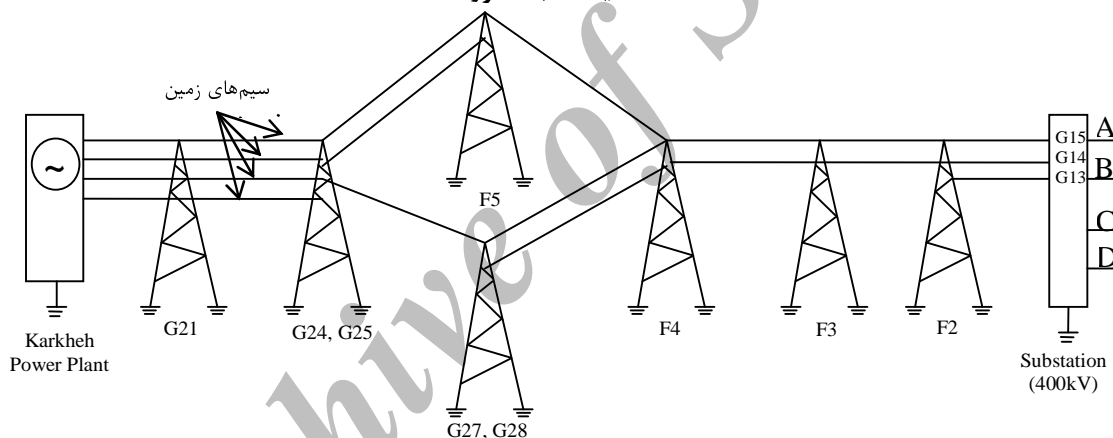
[6] Meliopoulos. A.P., and etal, "Computation of Maximum Earth Current in Substation Switchyards", IEEE Trans. On Power Apparatus and Systems, vol. PAS-102, No.9, September.1983, pp. 3131-3139.

[7] Dawalibi. F., "Ground Fault Current Distribution Between Soil and Neutral Conductors", IEEE Trans. On Power Apparatus and System, Vol. PAS-99, No.2, March/April 1980, pp. 452-461

[8] Verma. R., D.Mukhedkar, "Ground Fault Current Distribution Substation, Towers and Systems", IEEE Trans. On Power Apparatus and Systems, Vol. PAS-98, No.3, May/June 1979, pp. 724-730.

پیوست ۲:

الف. شبکه که مورد مطالعه



شکل پ-۱. شبکه، نیروگاه و پست کرخه

ب. اطلاعات شبکه کرخه

جدول پ-۲. مشخصات خط انتقال واسطه بین نیروگاه و پست کرخه

$Z_s(\text{ohm})$	تعداد سیم زمین	طول اسپن (m)	انتهای اسپن	ابتدا اسپن
$0.063+j0.049$	4	55	G21	P/P (نیروگاه)
$0.07+j0.054$	4	61	G24, G25	G21
$0.074+j0.057$	1	64.7	F5	G24
$0.062+j0.048$	1	54	F5	G25
$0.049+j0.038$	1	42.5	G28	G25
$0.05+j0.039$	1	44	F4	G27
$0.072+j0.055$	1	62.6	F4	G28
$0.099-j0.076$	1	86	F4	F5
$0.145+j0.111$	1	125.9	F3	F4
$0.14+j0.107$	1	121.2	F3	F4
$0.13+j0.098$	1	111.2	F2	F3
$0.122+j0.094$	1	105.8	F2	F3
$0.13+j0.098$	1	111.2	G13	F2
$0.12+j0.091$	1	102.4	G14	F2
$0.112+j0.086$	1	97.8	G15	F2
$0.068+j0.052$	2	59.3	D/C	G13/G14
$0.066+j0.051$	2	57.3	B/A	G14/G15